网络出版时间: 2021 - 11 - 25 8:12 网络出版地址: https://kns.cnki.net/kcms/detail/34.1065.R.20211124.1045.007. html

## m<sup>6</sup> A 去甲基酶 FTO 促进 HER2 阳性乳腺癌细胞对 曲妥珠单抗耐药

纪琳娣<sup>12</sup> 徐婷娟<sup>12</sup> 殷 梧<sup>12</sup> 程 民<sup>12</sup> 吴新春<sup>12</sup> 卞 庚<sup>12</sup> 程联胜<sup>3</sup> 胡世莲<sup>12</sup> 沈国栋<sup>12</sup>

摘要 目的 探讨 N6-甲基腺嘌呤(m<sup>6</sup>A)去甲基酶肥胖相 关蛋白(FTO) 在乳腺癌细胞对曲妥珠单抗耐药中的作用及 新型抗人表皮生长因子受体 2(HER2) 人源化 A21 抗体 (HuA21) 对耐药性乳腺癌细胞增殖的影响。方法 制备曲 妥珠单抗耐药细胞株(BT474/TR) ,光学显微镜观察 BT474/ TR 与 BT474 细胞形态,四甲基偶氮唑盐(MTT) 法检测细胞 增殖,免疫荧光法检测增殖相关抗原(Ki67)表达,流式细胞 术检测细胞周期 ,qPCR 和 Western blot 法检测 FTO 与甲基 转移酶样蛋白 3 抗体(METTL3) 表达。结果 BT474/TR 出 现细胞核固缩、伪足消失 细胞增殖速度下降。 曲妥珠单抗 处理 BT474 不同时间至形成耐药细胞 ,Ki67 表达逐渐降低 (P<0.05) S期细胞比例逐渐减小(P<0.05) FTO 表达逐 渐增加(P<0.05) 但是 METTL3 表达没有变化。FTO 抑制 剂甲氯芬那酸乙酯(MA2)促进 BT474/TR 细胞增殖 ,且提高 其对曲妥珠单抗的敏感性(P < 0.05)。HuA21 抗体对 BT474/TR 细胞增殖具有抑制作用(P<0.05) ,且联合 MA2 和曲妥珠单抗对 BT474/TR 细胞抑制效果更好(P < 0.05)。 结论 HER2 阳性乳腺癌细胞 FTO 基因表达与其对曲妥珠 单抗耐药之间存在相关性,抑制 FTO 活性可以增强乳腺癌 耐药细胞对曲妥珠单抗治疗的敏感性; HuA21 抗体对曲妥珠 单抗耐药性乳腺癌细胞有抑制作用。

关键词 乳腺癌; HER2; 曲妥珠单抗; m<sup>6</sup>A; HuA21 中图分类号 R 737. 9

文献标志码 A 文章编号 1000 - 1492(2021) 12 - 1885 - 06 doi: 10.19405/j. cnki. issn1000 - 1492.2021.12.008

乳腺癌高居女性恶性肿瘤发病率的首位<sup>[1]</sup>,严重危害健康。自从曲妥珠单抗(Trastuzumab,商品名 Herceptin)用于人表皮生长因子受体2(human

2021 - 09 - 20 接收

基金项目: 安徽省对外合作项目(编号: 202004b11020019); 安徽省中央引导地方科技发展专项项目(编号: 2019b12030026、2019b11030012); 中央高校基本科研业务费专项资金资助(编号: WK9110000064)

作者单位: <sup>1</sup> 安徽医科大学附属省立医院老年医学科 / 合肥 230001 <sup>2</sup> 安徽省老年医学研究所 / 肿瘤免疫与营养治疗安徽省重 点实验室 / 合肥 230001

<sup>3</sup> 合肥瀚科迈博生物技术有限公司 ,合肥 230088 作者简介: 纪琳娣 ,女 ,硕士研究生;

沈国栋 ,男 ,博士 ,研究员 ,责任作者 ,E-mail: gdshen@ustc.edu.cn

epidermal growth factor receptor 2, HER2) 阳性乳腺癌治疗以来,患者获益良多; 但经临床广泛应用显示约半数 HER2 阳性乳腺癌病例会出现耐药现象,导致肿瘤进展或复发<sup>[2]</sup>。N6-甲基腺嘌呤(m<sup>6</sup>A) 甲基化是一种广泛发生于哺乳动物 RNA 的表观遗传学修饰方式,脂肪量与肥胖相关基因(FTO) 是其中一种 m<sup>6</sup>A 去甲基酶 参与个体发育及肿瘤发生发展等生理病理进程<sup>[3-5]</sup>。该研究旨在探讨 FTO 与 HER2 阳性乳腺癌对曲妥珠单抗治疗抵抗的相关性,并探索自主研制的新型抗 HER2 人源化 A21 抗体(HuA21) 对耐药性乳腺癌细胞增殖的影响。

#### 1 材料与方法

1.1 主要材料 人乳腺癌细胞株 BT474 购自中国科学院细胞库 曲妥珠单抗购自罗氏旗下 Genentech公司; 甲氯芬那酸乙酯(MA2) 由中国科学院上海药物研究所杨财广教授赠送; HuA21 购自合肥瀚科迈博生物技术有限公司; 胎牛血清(FBS) 购自美国CLARK Bioscience 公司; RPMI 1640 培养基购自武汉赛维尔公司; CCK-8 试剂盒购自南京诺唯赞公司; Ki67 免疫荧光抗体、鼠抗人 FTO 与 METTL3 抗体、兔抗人  $\beta$ -actin 抗体及辣根过氧化物酶(HRP) 标记的羊抗兔、羊抗鼠 IgG 购自美国 CST 公司; RNA 提取试剂盒购自德国 Analytik Jena 公司; 荧光定量PCR 试剂盒及逆转录试剂盒购自北京全式金生物技术公司。

### 1.2 方法

- 1.2.1 曲妥珠单抗耐药细胞株制备 参考 Ding et al<sup>[6]</sup>方法采用体外间接梯度法诱导耐药株,当细胞可以在 80 μg/ml 药物浓度下稳定生长时认定为曲妥珠单抗耐药株(BT474/TR) 将其用于后续实验。1.2.2 细胞处理与形态观察 取对数生长期的
- 1.2.2 细胞处理与形态观察 取对数生长期的 BT474 细胞 加入  $10~\mu g/ml$  曲妥珠单抗 ,分别处理 0.4.8~d; BT474/TR 被  $10~\mu g/ml$  曲妥珠单抗处理 8~d ,用于后续实验 ,分别在荧光显微镜下观察曲妥珠单抗处理前后的细胞形态学变化。
- 1.2.3 免疫荧光检测 药物处理后的细胞爬片,预

冷 PBS 清洗,经 4% 多聚甲醛固定、0.5% TritonX-100 室温通透,封闭、清洗、4 ℃ 过夜孵育荧光一抗 Ki67、PBS 清洗、室温避光孵育荧光二抗、DAPI 染核、滴加抗淬灭液后拍照,使用 Image-Pro Plus 6.0 软件对荧光值进行量化分析。

- 1.2.4 细胞周期分析 药物处理后的细胞制备成单细胞悬液 ,70% 乙醇固定细胞形态 ,4  $^{\circ}$  过夜。离心去除乙醇 ,清洗后向每管细胞沉淀加入 500  $^{\circ}$  起置好的 CCAA 溶液(含 PI 染液 50  $^{\circ}$   $^{\circ}$  以度 核酸酶 100  $^{\circ}$   $^$
- 1.2.5 qPCR 检测 提取细胞内总 RNA 后进行 qPCR 实验<sup>[7]</sup> 采用  $2^{-\Delta\Delta^{Cl}}$ 的计算方式来表示基因 的相对表达量。以 GAPDH 为内参 ,内参及目的蛋白引物序列见表 1。

表 1 qPCR 引物名称与序列

引物名称	序列
FTO-Forward Primer	5´-GCCGCTGCTTGTGAGACCTTC-3´
FTO-Reverse Primer	5´-CTGCTCTGCTCTTAATGTCCAC-3´
METTL3-Forward Primer	5´-ACACTGCTTGGTTGGTGTCA-3´
METTL3-Reverse Primer	5´-AATCTTTCGAGTGCCAGGGG-3´
GAPDH-Forward Primer	5´-CTCGCTCCTGGAAGATGGTGAT-3´
GAPDH-Reverse Primer	5′-CTTCATTGACCTCAACTACATGG-3′

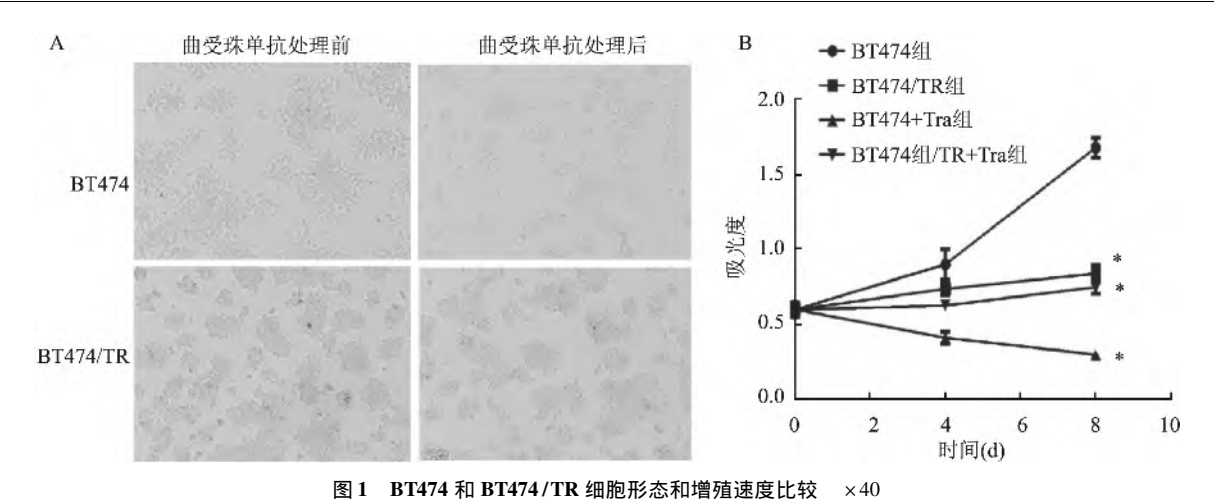
- 1.2.6 Western blot 实验 收集细胞沉淀、裂解、离心、取上清液 ,BCA 法进行蛋白定量 ,水浴锅内 100  $^{\circ}$   $^{\circ}$
- 1.2.7 CCK-8 细胞增殖检测 在 96 孔板每孔铺入 适量细胞 培养 72 h 后弃去培养基 ,每孔加入 100  $\mu$ l 新鲜培养基和 10  $\mu$ l CCK-8 试剂  $\mu$ 450 nm 波长测 吸光度。
- 1. 2. 8 药物处理 分别以 0.0.1.1.10.100.1000  $\mu$ mol/L 浓度梯度的 MA2 预先处理 BT474/TR 48 h , 更换不含 MA2 的新鲜培养基继续培养 72 h 后进行 CCK-8 实验 ,选取对细胞生长促进作用最强的浓度 进行后续实验。BT474/TR 细胞分别分为 Control 组 ( 对照组)、Tra 组(  $10~\mu$ g/ml 曲妥珠单抗处理 72 h)、HuA21 组(  $10~\mu$ g/ml HuA21 处理 72 h)、MA2 + Tra 组(  $40~\mu$ mol/L 的 MA2 预处理 48 h 后  $10~\mu$ g/ml 的曲妥珠单抗处理 72 h)、MA2 + Tra 4 (  $40~\mu$ mol/L 的 MA2 预处理 48 h 后  $10~\mu$ g/ml 的曲妥珠单抗处理 72 h)、MA2 + Tra + HuA21 组(  $40~\mu$ mol/L 的 MA2 开ra + HuA21 组(  $40~\mu$ mol/L 的 MA2 预处理 48 h 后  $10~\mu$ g/ml

μmol/L 的 MA2 预处理 48 h 后 10 μg/ml 的曲妥珠 单抗和 10 μg/ml HuA21 联合处理 72 h) 行 CCK-8 实验。

- **1.2.9**  $m^6A$  甲基化检测 使用  $m^6A$  甲基化测定试剂盒方法检测 HER2 过表达的人乳腺癌细胞株 BT474 经曲妥珠单抗处理 0.2.4 d 和自行制备的曲 妥珠单抗耐药株 BT474/TR 的  $m^6A$  水平。
- 1.3 统计学处理 各组实验数值以 $\bar{x} \pm s$  形式表示 采用 SPSS 19.0 进行统计分析 ,两组独立样本均值比较用 t 检验 ,多组数据采用单因素方差分析 ,P <0.05 表示差异有统计学意义 ,每组数据均重复 3 次。

#### 2 结果

- 2.1 BT474/TR 细胞形态变化、细胞增殖速度比较比较 BT474 和 BT474/TR 细胞的形态变化 ,如图 1 所示 ,两种细胞均表现为聚团生长 ,形态舒展饱满 ,边缘规则。曲妥珠单抗处理后 ,BT474/TR 形态无明显变化 ,但 BT474 细胞数目减少 ,胞体皱缩渐变成圆形 ,边缘不规则 ,伪足消失。CCK-8 实验提示BT474 组与同时间点的 BT474 + Tra 组、BT474/TR 组和 BT474/TR + Tra 组相比细胞增殖速度减慢(F = 27. 21 P < 0. 05)。 经曲妥珠单抗处理 0、4、8 d的BT474 及 BT474/TR 细胞增殖相关抗原 Ki67 表达比例逐渐减少 (F = 40. 56 ,P < 0. 05 ,图 2) ,细胞周期内 S 期细胞比例依次降低 (F = 135. 20 ,P < 0. 05 ,图 3)。
- 2.2 耐药株 BT474/TR 去甲基酶 FTO 表达情况 BT474 细胞在接受曲妥珠单抗处理至转变成曲妥 珠单抗耐药株 BT474/TR 过程中 mRNA 的 m<sup>6</sup>A 甲基化水平逐渐下降(F=109.59, P<0.05, 图 4)。 生物信息学方法分析 TCGA 数据库显示,乳腺癌中 Her2 基因与 METTL3、METTL14、METTL16、FTO、YTHDF1、YTHDF2 基因表达之间存在相关性(图5)。 qPCR 和 Western blot 结果显示曲妥珠单抗处理 4、8 d 的 BT474 及经曲妥珠单抗处理 8 d 的 BT474/TR 相较于对照组,去甲基酶 FTO 表达量逐渐增加(F=71.48、100.36, P<0.05),甲基转移酶 METTL3 表达量未见明显变化(图6)。
- 2.3 MA2 和 HuA21 联合作用可增强 BT474/TR 对曲妥珠单抗的敏感性 CCK-8 检测不同浓度的 FTO 抑制剂 MA2 预处理对 BT474/TR 细胞促增殖作用 ,如图 7 所示 , $10~\mu$ mol/L 浓度的 MA2 对 BT474/TR细胞增殖作用最强(F=72.73~P<0.05)。



A: 细胞形态; B: CCK-8 实验检测敏感株和耐药株对曲妥珠单抗的耐受性; 与 BT474 组比较:  $^*$  P < 0.05

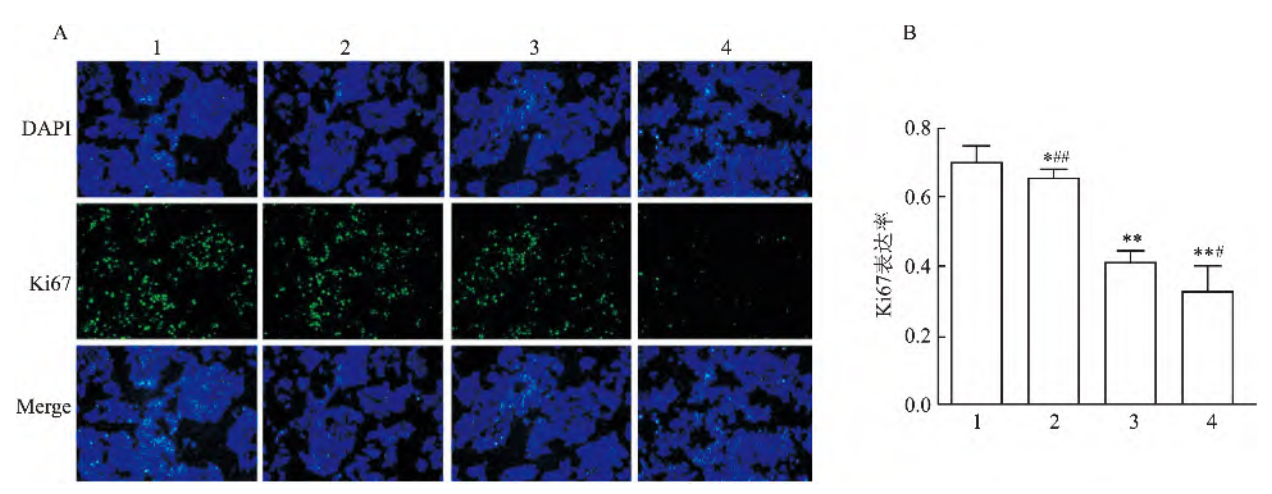
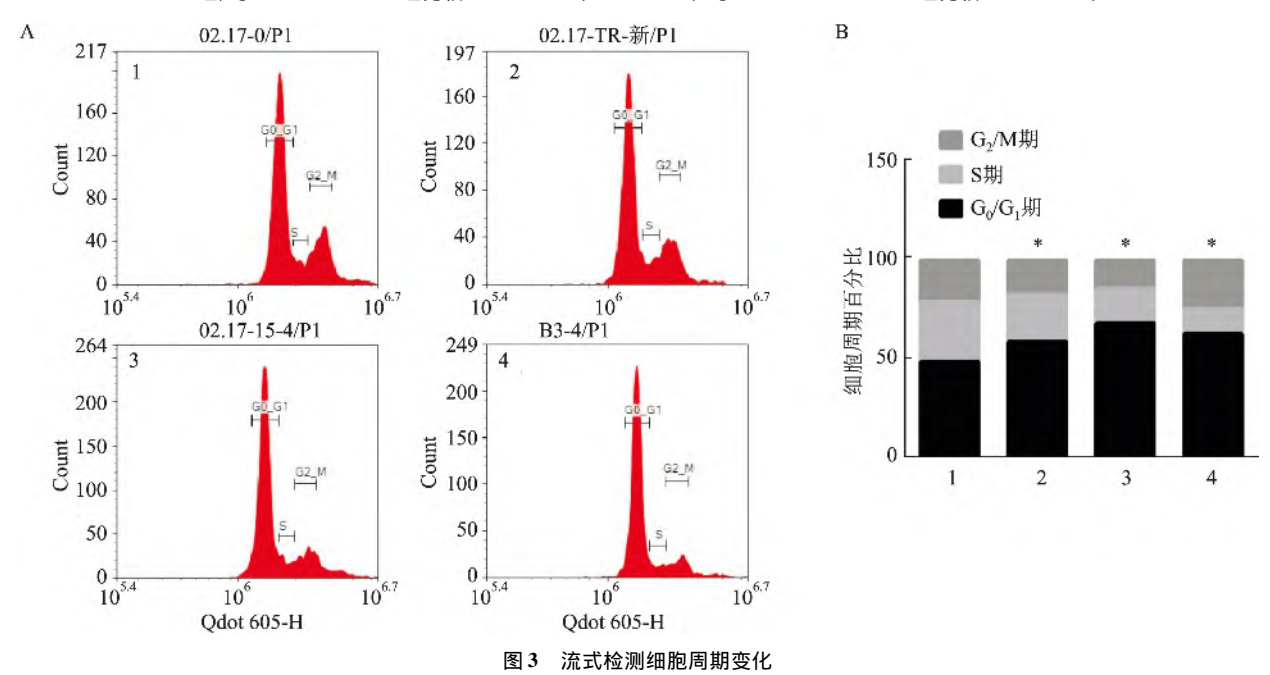


图 2 免疫荧光检测细胞增殖因子 Ki67 变化 ×40

A: 不同处理条件下 Ki67 表达情况; B: 不同处理条件下 Ki67 表达量; 1: BT474 + Tra 0 d 组; 2: BT474 + Tra 4 d 组; 3: BT474 + Tra 8 d 组; 4: BT474/TR + Tra 8 d 组; 与 BT474 + Tra 0 d 组比较: \* P < 0.05 , \*\* P < 0.01; 与 BT474/TR + Tra 8 d 组比较: \* P < 0.05 , \*\* P < 0.01



A: 不同处理条件下细胞周期情况; B: 不同处理条件下细胞周期内比例直方图; 1: BT474 + Tra 0 d 组; 2: BT474 + Tra 4 d 组; 3: BT474 + Tra 8 d 组; 4: BT474 / TR + Tra 8 d 组; 与 BT474 + Tra 0 d 组比较: \* P < 0.05

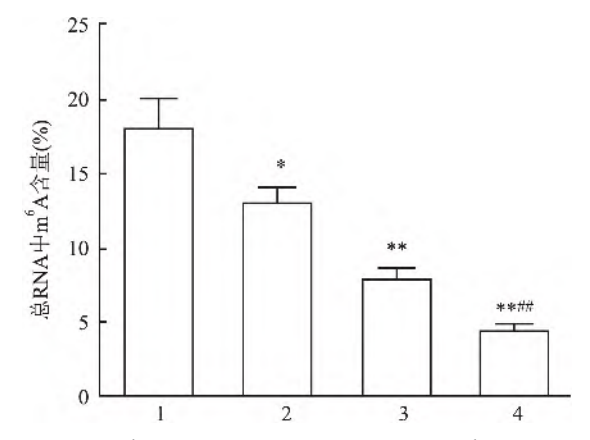


图 4  $m^6A$  甲基化测定试剂盒检测 RNA 总  $m^6A$  含量

1: BT474 + Tra 0 d 组; 2: BT474 + Tra 2 d 组; 3: BT474 + Tra 4 d 组; 4: BT474/TR + Tra 4 d 组; 与 BT474 + Tra 0 d 组比较: \* P < 0.05,\*\*P < 0.01;与 BT474 + Tra 2 d 组比较: ##P < 0.01

经 MA2 预处理的 BT474/TR 对曲妥珠单抗的敏感性增加(F = 164.90 P < 0.05) 。同时在 MA2 预处理的基础上联合使用曲妥珠单抗和 HuA21 较单独使用曲妥珠单抗对耐药株的抑生长作用更好(F = 30.72 P < 0.05)。

#### 3 讨论

针对人 HER2 阳性的乳腺癌类型 ,目前一线治疗方案是曲妥珠单抗联合化疗 ,但是一部分患者在接受曲妥珠单抗治疗初期显示无效或是在治疗期内逐渐产生耐药现象 ,使 HER2 阳性乳腺癌的治疗遭遇了瓶颈。研究<sup>[8]</sup> 报道 HER2 阳性乳腺癌对曲妥珠单抗的耐药机制主要有曲妥珠单抗同 ErbB2 受体的

有效结合受阻、EGFR 家族受体和 IGF-IR 等共表达以及 PI3K-AKT 信号通路的异常活化等方面 ,但尚无相关药物进入临床使用 ,迫切需要开展新的曲妥珠单抗耐药机制的研究。

已有研究[9-10]表明肿瘤细胞处于休眠期或者 静止期会对药物治疗产生抵抗。该研究中表明人乳 腺癌 HER2 阳性细胞 BT474 在转变为曲妥珠单抗耐 药株的过程中 细胞形态发生显著变化 细胞周期停 顿在S期 细胞增殖相关因子 Ki67 表达下降 ,曲妥 珠单抗对肿瘤细胞的增殖抑制作用减弱 提示耐药 株处于一种生长增殖不活跃的休眠状态,改变耐药 株的这种休眠状态,恢复对曲妥珠单抗的敏感性是 解决 BT474/TR 耐药性问题的关键。近年来大量的 研究证实 m<sup>6</sup>A 甲基化在肿瘤发生发展与化疗耐药 等方面发挥着重要的作用[11-14],该研究表明,敏感 细胞株 BT474 在接受曲妥珠单抗处理至转变成曲 妥珠单抗耐药株 BT474/TR 过程中,总 mRNA 的 m<sup>6</sup>A 甲基化水平逐渐下降 ,去甲基酶 FTO 表达量逐 渐增加,甲基转移酶 METTL3 表达量未见明显变化。 使用去甲基酶 FTO 抑制剂 MA2 抑制 BT474/TR 细 胞 FTO 蛋白活性后 结果显示耐药株对曲妥珠单抗 的敏感性增加。

HuA21 是该课题组自主研制的一种新型抗HER2 人源化单克隆抗体,识别的是 HER2 胞外域的 I 区的识别表位,有别于曲妥珠单抗结合胞外域的 IV 区的表位,这就为曲妥珠单抗和 HuA21 联合使用增强对肿瘤细胞的杀伤作用提供了结构基础,

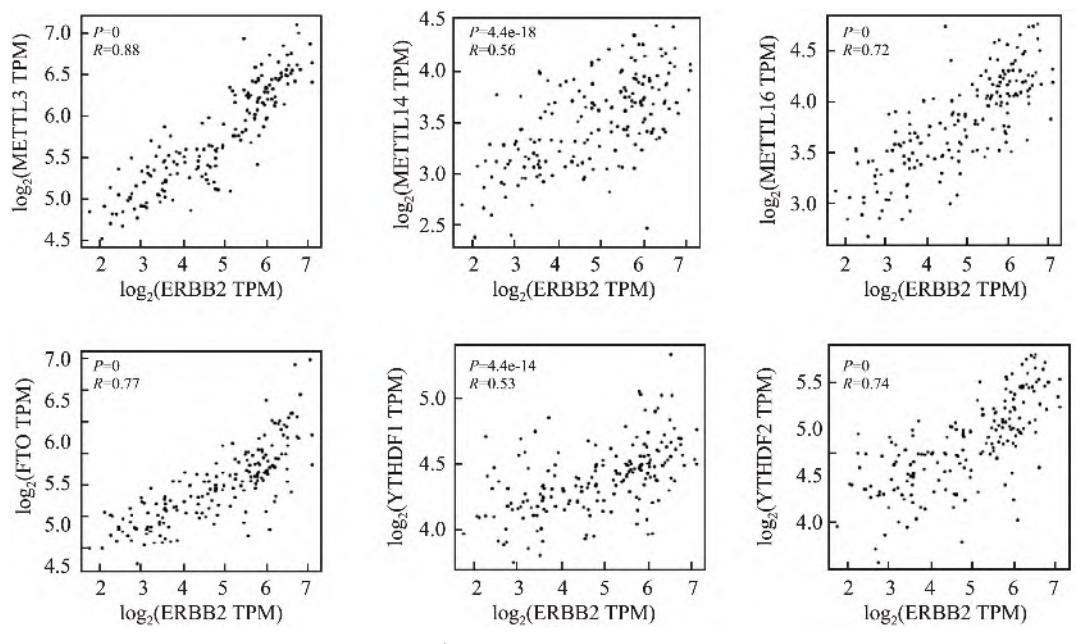
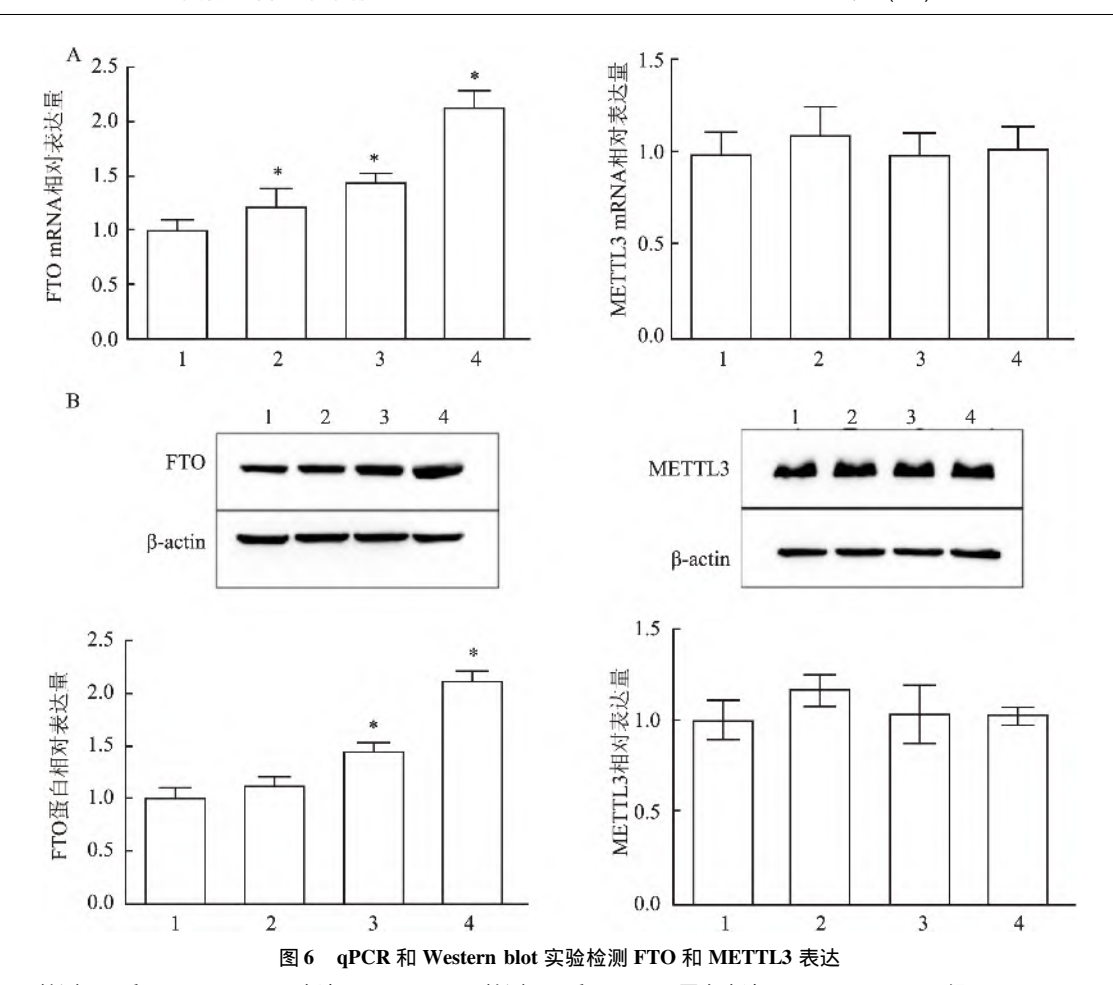


图 5 HER2 与 m<sup>6</sup> A 甲基化相关酶表达之间的相关性分析



A: qPCR 检测 FTO 和 METTL3 mRNA 表达; B: Western blot 检测 FTO 和 METTL3 蛋白表达; 1: BT474 + Tra 0 d 组; 2: BT474 + Tra 4 d 组; 3: BT474 + Tra 8 d 组; 4: BT474/TR + Tra 8 d 组; 与 BT474 + Tra 0 d 组比较: \* P < 0.05

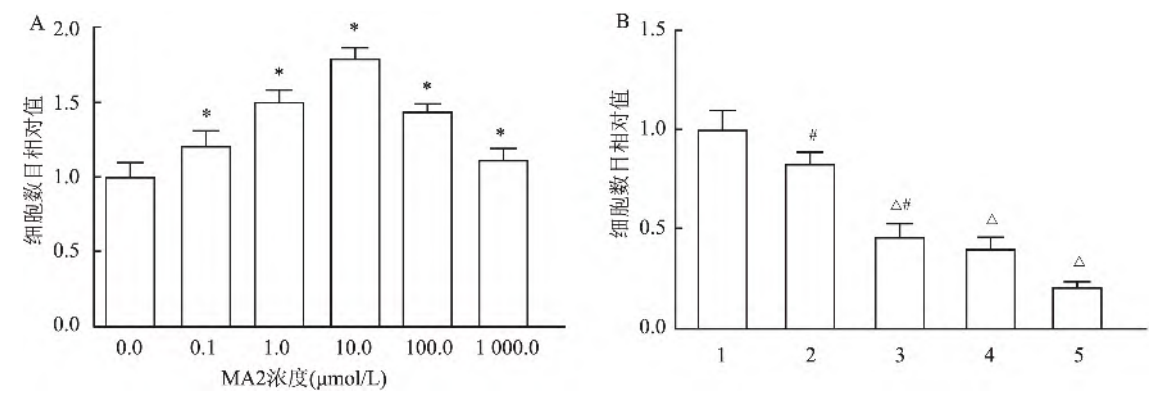


图 7 HuA21 与 MA2 减弱 BT474/TR 细胞对曲妥珠单抗的耐药性

A: 不同浓度 MA2 对 BT474/TR 的促增殖作用; B: 不同处理条件下 BT474/TR 对曲妥珠单抗敏感性的改变; 1: Control 组; 2: Tra 组; 3: HuA21 组; 4: MA2 + Tra 组; 5: MA2 + Tra + HuA21 组; 与 MA2 0.0  $\mu$ mol/L 组比较:  $^*P$  < 0.05; 与 Control 组比较:  $^\triangle P$  < 0.05; 与 MA2 + Tra + HuA21 组比较:  $^*P$  < 0.05

在应用 FTO 抑制剂 MA2 预处理以增加耐药株 BT474/TR 的  $m^6A$  甲基化程度基础上联合使用抗 HER2 抗体 HuA21 和曲妥珠单抗可加强对肿瘤细胞的杀伤作用。

综上所述 ,抑制人乳腺癌 HER2 阳性耐曲妥珠 单抗细胞 BT474/TR 的去甲基酶 FTO 活性 ,增加 m<sup>6</sup>A 甲基化程度 ,可改善 BT474/TR 对曲妥珠单抗的耐药作用 联合使用抗 HER2 抗体 HuA21 和曲妥珠单抗可加强对肿瘤细胞的杀伤作用。

#### 参考文献

[1] Sung H , Ferlay J , Siegel R L , et al. Global cancer statistics

- 2020: globocan e stimates of incidence and mortality worldwide for 36 cancers in 185 countries [J]. CA Cancer J Clin , 2021 ,71 (3):209 –49.
- [2] Liu Y, Wang R, Zhang L, et al. The lipid metabolism gene FTO influences breast cancer cell energy metabolism via the PI3K/AKT signaling pathway [J]. Oncology letters, 2017, 13(6): 4685 90
- [3] Niu Y , Lin Z , Wan A , et al. RNA N6-methyladenosine demethylase FTO promotes breast tumor progression through inhibiting BNIP3 [J]. Molecular cancer , 2019 , 18(1): 46.
- [4] Li J, Han Y, Zhang H, et al. The m<sup>6</sup>A demethylase FTO promotes the growth of lung cancer cells by regulating the m<sup>6</sup>A level of USP7 mRNA[J]. Biochem Biophys Res Commun, 2019, 512 (3): 479-85.
- [5] Stratigopoulos G, Padilla S L, Leduc C A, et al. Regulation of fto/ftm gene expression in mice and humans [J]. Am J Physiol Regul Integr Comp Physiol, 2008, 294(4): R1185 – 96.
- [6] Ding K, Wu Z, Li X, et al. LMO4 mediates trastuzumab resistance in HER2 positive breast cancer cells [J]. Cancer Res, 2018 8(4):594-609.
- [7] 刘芬芬 高 倩 程 民. 人表皮生长因子受体 2 与 wnt/β-catenin 信号相互作用促进卵巢癌细胞转移 [J]. 安徽医科大学学报, 2018 53(3): 331 8.

- [8] Thill M. New Frontiers in oncology: biosimilar monoclonal antibodies for the treatment of breast cancer [J]. Expert Rev Anticancer Ther, 2015, 15(3):331-8.
- [9] Kurppak J , Liu Y , To C , et al. Treatment-induced tumor dormancy through YAP-mediated transcriptional reprogramming of the apoptotic pathway [J]. Cancer Cell , 2020 , 37 (1): 104 – 22 , e12
- [10] Lan Q, Peyvandi S, Duffey N, et al. Type I interferon/IRF7 axis instigates chemotherapy-induced immunological dormancy in breast cancer [J]. Oncogene, 2019, 38(15): 2814-29.
- [11] Li J, Han Y, Zhang H, et al. The m<sup>6</sup>A demethylase FTO promotes the growth of lung cancer cells by regulating the m<sup>6</sup>A level of USP7 mRNA[J]. Biochem Biophys Res Commun, 2019, 512 (3): 479-85.
- [12] Huang H, Weng H, Chen J. m<sup>6</sup> A Modification in coding and non-coding RNAs: roles and therapeutic implications in cancer [J].
  Cancer Cell, 2020, 37(3): 270 88.
- [13] Ma S, Chen C, Ji X, et al. The interplay between m<sup>6</sup>A RNA methylation and noncoding RNA in cancer [J]. J Hematol Oncol, 2019, 12(1): 121.
- [14] An S , Huang W , Huang X , et al. Integrative network analysis identifies cell-specific trans regulators of m<sup>6</sup> A [J]. Nucleic Acids Research , 2020 , 48(4): 1715 29.

# m<sup>6</sup> A demethylase FTO promotes the resistance of HER2-positive breast cancer cell to trastuzumab

Ji Lindi<sup>12</sup>, Xu Tingjuan<sup>12</sup>, Yin Wu<sup>12</sup> et al

( <sup>1</sup>Dept of Geriatrics, Anhui Provincial Hospital Affiliated to Anhui Medical University, Hefei 230001

<sup>2</sup>Gerontology Institute of Anhui Province, Anhui Provincial Key Laboratory of

Tumor Immunotherapy and Nutrition Therapy, Hefei 230001)

Abstract Objective To explore the role of m<sup>6</sup>A demethylase FTO in the resistance of breast cancer cell to trastuzumab and the effect of the new anti-HER2 antibody HuA21 on the proliferation of drug-resistant breast cancer cell. Methods Trastuzumab-resistant cell line BT474/TR was prepared. The morphology of BT474/TR and BT474 cells were observed under optical microscope. MTT, immunofluorescence and flow cytometry were used to detect cell proliferation, the expression of proliferation-related antigen Ki67 and cell cycle. qPCR and Western blot methods were used to determine the expression of m<sup>6</sup>A-related enzymes FTO and METTL3. Results showed pyknosis of the nucleus, the pseudopodia disappeared, and the cell proliferation rate decreased. As BT474 transited to BT474/TR with trastuzumab treatment, Ki67 expression and S phase cell proportion gradually decreased (P < 0.05), and FTO expression gradually increased (P < 0.05). However, there was no difference in METTL3 expression. The FTO inhibitor MA2 promoted the BT474/TR proliferation and increased its sensitivity to trastuzumab treatment (P < 0.05). HuA21 antibody had an inhibitory effect on the proliferation of BT474/TR cells (P < 0.05). 0.05), and the combination of MA2 and trastuzumab had a better inhibitory effect on BT474/TR cells (P < 0.05). Conclusion There is a correlation between the resistance of HER2-positive breast cancer cell to trastuzumab and FTO gene expression and the inhibition of FTO activity can enhance the sensitivity of drug-resistant cells to trastuzumab treatment. Moreover, HuA21 antibody has an inhibitory effect on the proliferation of BT474/TR cells.

**Key words** breast cancer; HER2; trastuzumab; m<sup>6</sup>A; HuA21